

МАГНИТНАЯ ВОСПРИИМЧИВОСТЬ ПОЛУМЕТАЛЛИЧЕСКИХ СПЛАВОВ Bi – Sb В УЛЬТРАКВАНТОВОМ ПРЕДЕЛЕ

Н.Б.Брандт, Е.А.Свистова, Н.В.Семенов

Обнаружено резкое возрастание постоянной части поперечной ($H \perp C_3$) дифференциальной магнитной восприимчивости у висмута и полуметаллических сплавов висмут – сурьма при переходе в ультраквантовую область магнитных полей.

Аномально большая величина диамагнетизма у сплавов Bi – Sb и ее значительное увеличение [1, 2] в области концентраций Sb от 7 до 21 ат.%, в которой сплавы являются полупроводниками, получили недавно количественное объяснение [3] на основе учета межзонных вкладов, роль которых возрастает при переходе сплавов в полупроводниковое состояние. Менее ясным остается вопрос о поведении магнитной восприимчивости у этих сплавов в ультраквантовой области магнитных полей. Несмотря на то, что отдельные аспекты этого вопроса рассматриваются в теоретических работах [4, 5], в настоящее время, насколько нам известно, нет специальных экспериментальных исследований в этой области.

В настоящей работе исследована магнитная восприимчивость у Bi и сплавов Bi – Sb в ультраквантовом пределе магнитных полей при гелиевых температурах. Измерения проводились на индукционном магнитометре, аналогичном описанному в [6]. Магнитное поле до 50 кэ создавалось сверхпроводящим соленоидом. Модулирующее магнитное поле частоты 20 – 30 Гц с амплитудой до 100 э создавалось сверхпроводящей модуляционной катушкой, питаемой от генератора ГЗ-33 через усилитель мощности УМ-50. При таких частотах вклад скин-эффекта у Bi и сплавов Bi – Sb проявляется лишь в самых слабых полях (до 300 + 400 э). Сигнал снимается с пары измерительных катушек, намотанных навстречу друг другу и содержащих по несколько тысяч витков провода ПЭВ-0,02. После компенсации оставшейся наводки от модулирующего поля сигнал усиливается на узкополосном усилителе У2-6, синхронно детектируется и подается на двухкоординатный самописец для записи кривых $\chi(H)$. При работе с достаточно длинными образцами метод измерения является абсолютным [7]: при введении образца в одну из скомпенсированных измерительных катушек на выходе системы возникает отклонение, пропорциональное дифференциальной магнитной восприимчивости образца $\chi = dM/dH$. Так как при увеличении магнитного поля компенсация катушек нарушается, полезный сигнал отсчитывается от смешенного "нуля", соответствующего записи сигнала с измерительных катушек без образца. При соответствующей калибровке системы полученные значения χ в слабых полях хорошо совпадают с литературными данными по восприимчивости сплавов Bi – Sb [1, 2].

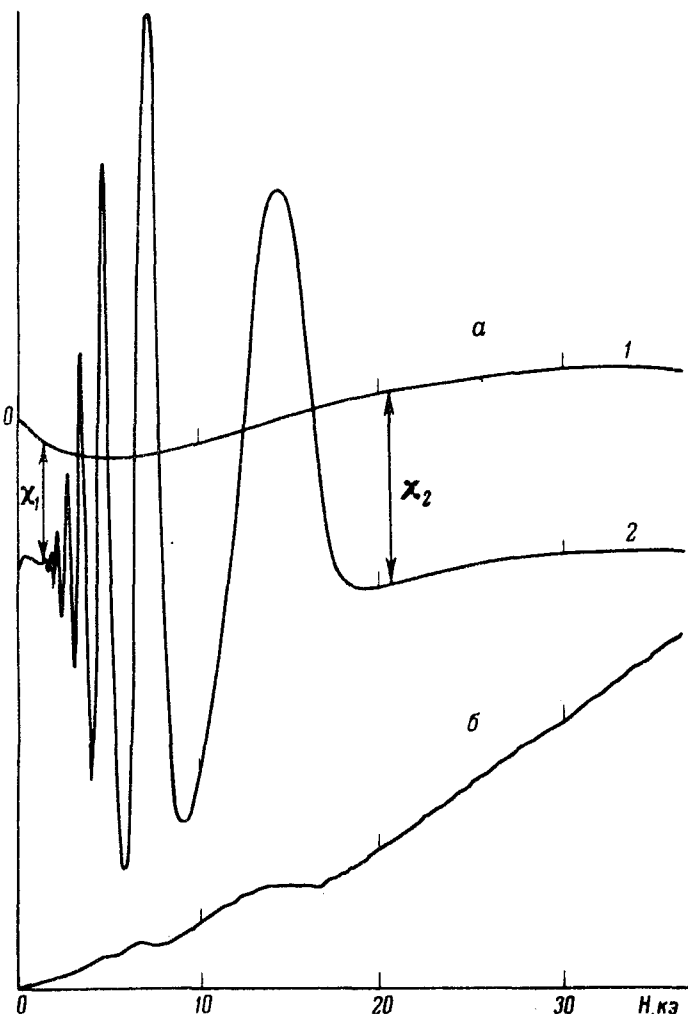


Рис. 1. а – Дифференциальная восприимчивость (разность между кривыми 1 и 2) у Bi от магнитного поля $H \parallel C_2$, б – зависимость модуля магнитного момента у Bi от поля $H \parallel C_2$

На рис. 1, а и 2, а, б приведены результаты измерения при $T = 4,2^\circ\text{K}$ дифференциальной магнитной восприимчивости у Bi при ориентациях магнитного поля вдоль бинарной (C_2) и биссекторной (C_1) осей кристалла (кривые получены усреднением нескольких повторных записей на самописце). Резкое изменение сигнала в слабых полях связано с увеличением глубины скин-слоя в магнитном поле. В больших полях величина сигнала характеризует начальную восприимчивость χ_1 , на которую затем накладываются осцилляции де Гааза – ван Альфена. После выхода последнего уровня Ландау для двух (при $H \parallel C_2$) или всех трех (при $H \parallel C_1$) электронных эллипсоидов достигается ультраквантовая область магнитных полей. Новым и весьма неожиданным явился тот факт, что в этой области дифференциальная восприимчивость χ_2 заметно больше, чем в слабых полях. Величина χ_2 не зависит от

ориентации магнитного поля (при $H \parallel C_2$, C_1) и температуры (в интервале $2,1 \div 4,2^\circ\text{K}$), и слабо уменьшается с ростом магнитного поля. Максимальное отношение χ_2 / χ_1 у Bi составляет в среднем $1,66 \pm 0,05$. Значение восприимчивости $\chi_2 \approx -3,0 \cdot 10^{-6} \text{ CGS/}\Omega$ близко к значениям χ_1 у полупроводниковых сплавов Bi-Sb (максимум $\chi_1 = -3,5 \cdot 10^{-6} \text{ CGS/}\Omega$ при концентрации Sb 7 – 8 ат. %).

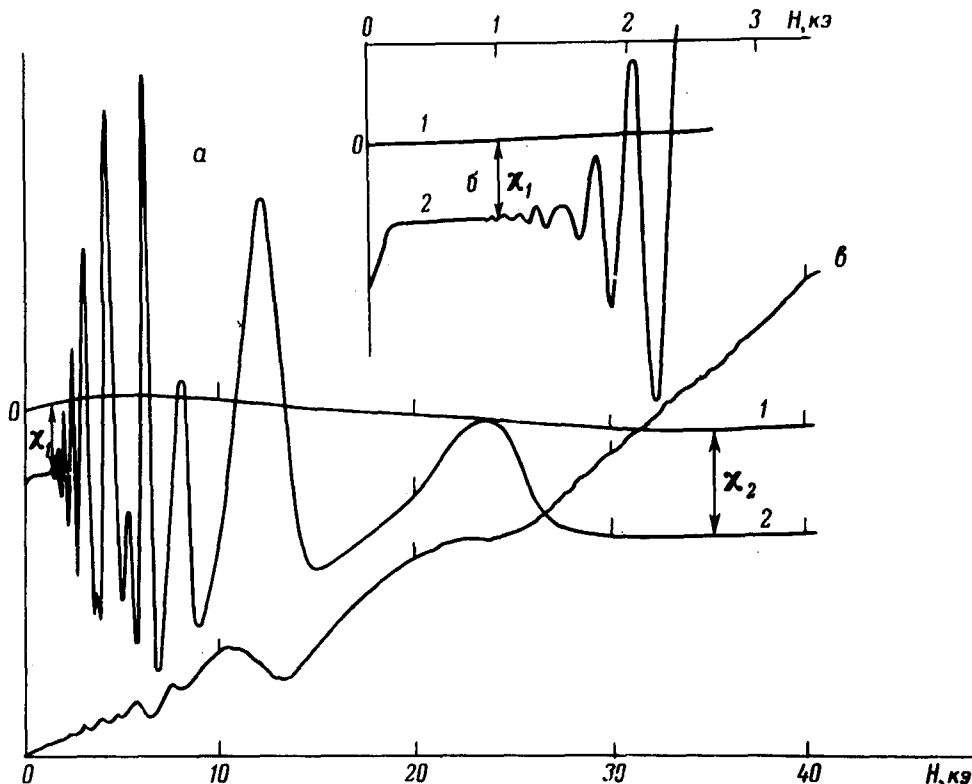


Рис. 2. *a* – Дифференциальная восприимчивость (разность между кривыми 1 и 2) у Bi от магнитного поля $H \parallel C_1$, *б* – то же – в увеличенном масштабе дан начальный участок кривой, *в* – зависимость модуля магнитного момента у Bi от поля $H \parallel C_1$

Для независимой проверки обнаруженного явления были проведены измерения зависимости магнитного момента M у Bi от поля. В центре соленоида создавался переменный градиент поля до $4 \cdot 10^2 \text{ э/см}$. Переменная сила, действующая на образец, передавалась на пьезодатчик, соединенный с образцом тонкой кварцевой трубкой. Сигнал с пьезодатчика через катодный повторитель подавался на регистрирующую систему, описанную выше. Результаты этих измерений представлены на рис. 1, *б* и 2, *в*. Хорошо заметно увеличение угла наклона кривой $M(H)$ после выхода последней осцилляции при обеих ориентациях поля. Тангенс угла наклона кривой (*т. е.* χ) возрастает примерно в 1,7 раза, что хорошо согласуется с данными по восприимчивости.

На рис. 3 представлены результаты измерения максимальных значений χ_2 / χ_1 при $H \parallel C_2$ для полуметаллических сплавов Bi-Sb. Видно, что отношение χ_2 / χ_1 падает с ростом концентрации сурьмы. Уменьше-

ние χ_2 / χ_1 происходит главным образом за счет роста восприимчивости χ_1 , в то время как абсолютное значение χ_2 остается для всех исследованных концентраций Sb того же порядка, что и у Bi : $(2,9 \div 3,1) \cdot 10^{-6}$ CGS/Г. Возможными причинами увеличения диамагнетизма у Bi и сплавов Bi – Sb в ультраквантовой области, по-видимому, могут быть насыщение paramagnитного момента у электронов проводимости, расположенных на нулевом уровне Ландау, или же возрастание диамагнитного межзонного вклада в результате изменения характера плотности состояний в зоне проводимости в ультраквантовой области. Следует также отметить, что большая величина χ_2 , близкая к χ_1 , у полупроводниковых сплавов Bi – Sb, может сильно затруднить наблюдение аномалий магнитных характеристик вещества [4] при электронных переходах в сильных магнитных полях [8].

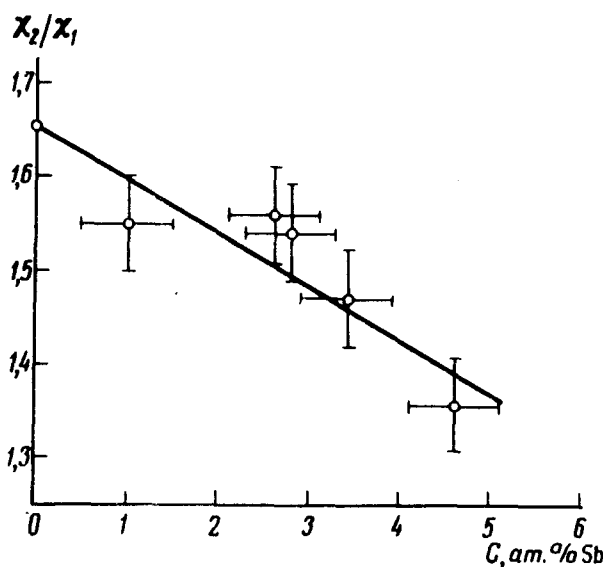


Рис. 3. Зависимость отношения восприимчивости χ_2 в ультраквантовом пределе и восприимчивости χ_1 в слабом поле от концентрации Sb в сплавах Bi – Sb

Пользуемся случаем выразить нашу признательность сотрудникам Института металлургии им. Байкова В.С.Земскому, В.В.Рождественской и А.Д.Белой за любезное предоставление образцов, Г.Н.Ронами – за проведение их анализа на установке "Сатеса", а также А.С.Боровику-Романову – за полезное обсуждение результатов работы.

Московский
государственный университет
им. М.В.Ломоносова

Поступила в редакцию
10 декабря 1973 г.

Литература

- [1] Б.И.Веркин, Л.Б.Кузьмичева, И.В.Свечкарев. Письма в ЖЭТФ, 6, 757, 1967.
- [2] L.Wehrli. Phys. Kondens. Mater., 8, 87, 1968.
- [3] F.A.Buot. J. Phys. Chem. Sol., Suppl., 32, 99, 1971.
- [4] М.Я.Азбель, С.Я.Рахманов. ФТТ, 10, 1650, 1968.

- [5] A.Ishihara, J.T.Tsai. Phys. Kondens. Mater., **15**, 214, 1972.
 - [6] A.Goldstain, S.J.Williamson, S.Foner. Rev. Sci. Instr., **36**, 1356, 1965.
 - [7] Л.Пал. Вестник Моск. Ун-та, сер. физ., №12, 49, 1955.
 - [8] Н.Б.Брандт, Е.А.Свистова. УФН, **101**, 249, 1970.
-